

## ANIZOTROPNO NAGRIZANJE MONOKRISTALNOG Si U RASTVORIMA TMAH-a SA DODATKOM ETANOLA: MORFOLOŠKE I KINETIČKE ODLIKE

Vesna Jović, Danijela Randjelović i Mirjana Popović

IHTM-Centar za mikroelektronske tehnologije i monokristale, Njegoševa 12, Beograd

**Sadržaj –** Izučavane su brzine nagrizanja (100) i (111) Si n-tipa provodnosti u rastvorima TMAH-a sa i bez dodatka etil alkohola. Pokazano je da dadodatak etanola smanjuje i brzinu nagrizanja i hrapavost (100) ravni.

### 1. UVOD

Topologija površine i morfološke odlike imaju velikog uticaja na mehaničke [1] i tribološke [2] osobine struktura i uređaja u mikro-elektronskim sistemima (MEMS). Procesi nagrizanja imaju ključnu ulogu u realizaciji struktura i uređaja baziranih na silicijumu jer diktiraju topografiju i hrapavost rezultujuće površine. U ovom radu će biti razmatrano vlažno hemijsko nagrizanje monokristalnog Si u rastvorima sa anizotropnim svojstvima [3]. Anizotropna svojstva pri nagrizanju Si pokazuju isključivo jako alkalni vodenim rastvori ( $\text{pH} > 12$ ) među kojima su najpopularniji oni na bazi KOH [4] i tetrametilamonijum hidroksida (TMAH) [5]. Svaki od njih ima određene prednosti i mane pri specifičnoj primeni. Izbor odgovarajućeg rastvora je uslovljen mnogim faktorima, kao što su: brzina nagrizanja, stepen anizotropnosti, selektivnost rastvora prema materijalu koji se koristi za maskiranje, morfologija i hrapavost nagriženih kristalografskih ravni, itd.

Stvarna geometrija nagriženog oblika u rastvoru sa anizotropnim svojstvima najviše zavisi od koncentracije i temperature rastvora jer ovi faktori određuju kinetiku i mehanizam hemijske reakcije nagrizanja monokristalnog Si. Međutim, postoje i mnogi drugi uticaji na anizotropnost nagrizanja i morfologiju kao što su:

- elektrohemski potencijali pojedinih materijala u rastvoru,
- profil primesa (nivo dopiranja) u Si,
- uvođenje eventualnih ultrazvučnih vibracija u rastvoru,
- dodatak aditiva (različiti alkoholi, soli sa oksidacionim svojstvima ili površinski aktivne materije),
- prisustvo neizbežnih primesa (nečistoća) u rastvoru,
- prisustvo rastvorenih gasova iz atmosfere i sa tim povezana atmosfera npr. inertnog gasa iznad rastvora,
- stepen zasićenosti rastvora silikatima koji nastaju kao direktna posledica nagrizanja Si,
- kristalografski defekati u monokristalu Si, itd.

U ovom radu će se razmatrati uticaj koncentracije i temperature nagrizanja vodenih rastvora TMAH-a [ $(\text{CH}_3)_4\text{NOH}$ ] na morfološke i kinetičke odlike anizotropnog nagrizanja monokristalnog Si. Biće prikazan i uticaj dodatka etil alkohola (etanola,  $\text{C}_2\text{H}_5\text{OH}$ ) na karakteristike ovog rastvora.

### 2. OPIS EKSPERIMENTA

U eksperimentima su korišćene monokristalne pločice Si n-tipa (dopirane B), specifične otpornosri  $5-3 \Omega\text{cm}$  (cc.  $8.95 \cdot 10^{14}-1.52 \cdot 10^{15} \text{ cm}^{-3}$ ). Debljina pločice je bila  $525 \mu\text{m}$ , gornja strana je polirana do visokog sjaja a suprotna je brušena. Pre nagrizanja sa zadnje strane se ne skida zaštita, tako da se nagrizanje odvijalo samo sa jedne, polirane strane. Orientacija pločice je (100) a orientacije fotolitografskih

maski pri fotopostupku su podešavane prema [110] pravcu koji se na ovakvim pločicama poklapa sa orientacijom tzv. "primarnog" zaravnjenja oboda pločice. Na ovaj način smo mogli da odredimo, osim brzine nagrizanja (100) ravni, i brzinu nagrizanja ravni (111) ravni.

Kao zaštitna maska je korišćen termički oksid Si dobijen u atmosferi vlažnog kiseonika na  $1150^\circ\text{C}$ . Rast oksida se odvija na atmosferskom pritisku a parcijalni pritisak vodene pare u atmosferi  $\text{O}_2$  je bio jednak naponu pare vode na  $90^\circ\text{C}$ . Zaštitni oksid je obično imao debljinu oko  $1 \mu\text{m}$ .

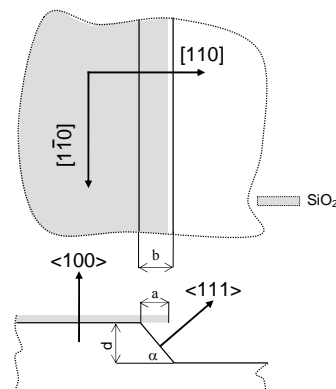
Opšte je poznato da pri termičkoj oksidaciji Si postoji određen poremećaj defekata u kristalu neposredno ispod oksida koji je izazvan precipitacijom kiseonika [6]. Sve prikazane morfologije površine se odnose na dubine nagrizanja koje uveliko prevazilaze ovu dubinu tako da predstavljaju karakteristike samog monokristala i odlike posebnog rastvora.

Nagrizanje se odvijalo u hermetički zatvorenoj aparaturi sa refluks kondenzatorom čije je prisustvo sprečavalo promenu sastava rastvora usled isparavanja. Temperatura rastvora je kontrolisana sa tačnošću od  $\pm 0.5^\circ\text{C}$  uz mešanje elektromagnetskom mešalicom. Detaljan opis aparature i načina držanja pločica je dat u radu [7].

Dubina nagrizanja ( $d$ ) u  $<100>$  pravcu je merena direktno na nagriženom uzorku mikrometarskim meračem sa tačnošću od  $\pm 1 \mu\text{m}$ . Brzina nagrizanja u  $<100>$  pravcu,  $R_{<100>}$ , odnosno brzina nagrizanja (100) ravni se direktno određivala iz izmerene dubine nagrizanja ( $d$ ) i vremena nagrizanja ( $t$ ) kao:

$$R_{<100>} = d \cdot t^{-1} \quad (1)$$

Na Sl.1. je šematski prikaz nagrižene strukture na osnovu koga se vidi kako smo određivali brzinu nagrizanja (111) ravni za koju se pokazalo da je najsporije nagrizajuća ravan u ovom sistemu.



Sl.1. Šematski prikaz orijentacija i rastojanja koja se mere na pojedinačnim nagriženim likovima.

Na šemi sa Sl.1. sa  $a$  je označeno podgrizanje ispod maske  $\text{SiO}_2$ . Ovo rastojanje je mereno na metalografskom mikroskopu s obzirom da je maskirajući materijal bio

providan i da se kroz njega video trag ravnih (111) u ravni pločice. Eksperimentalno je utvrđeno da se  $\text{SiO}_2$  koji je rastao pod navedenim uslovima, nagriz brzinom od  $1.28 \cdot 10^{-4} \mu\text{m} \cdot \text{min}^{-1}$  u vodenom rastvoru sa 25 tež.% TMAH-a na 80 °C.  $\text{SiO}_2$  se kao amorfni materijal u ovom rastvoru nagriza izotropno i pokazuje se da je smanjenje veličine  $a$  u toku nagrizanja praktično zanemarljivo. Sa  $b$  je na ovoj semi označena projekcija sporonagrizuće ravni, (111), na ravan (100). Veličinu  $b$  je moguće meriti samo za dovoljno male dubine nagrizanja (d) za koje je donja ivica kose ravni u fokusu mikroskopa. Korišćen je metalografski mikroskop "Epival Interphako", Carl Zeiss.

Iz jednostavnih geometrijskih relacija, se vidi da se brzina nagrizanja ove kose ravni (u ovom slučaju je to ravan (111), kao najsporije nagrizajuća ravan),  $R_{(111)}$  može odrediti iz sledeće relacije:

$$R_{(111)} = \frac{a \sin \alpha}{t}. \quad (2)$$

U jed. (2)  $\alpha$  je ugao koji obrazuju (100) i (111) ravan i on iznosi 54.74° a sa  $t$  je označeno vreme nagrizanja.

Hrapavost i trodimenzionalne slike površine su određivane na skenirajućem atomskom mikroskopu (AFM) firme "TM Microscopes - Veeco" u bezkontaktnom načinu skeniranja. [8]. Pri analizi hrapavosti je uspostavljen metod kojim se pouzdano može odrediti hrapavost ispitivane površine. Pomoću softverskog paketa SPMLab izvršena je analiza dobijenih slika. Ustanovljeno je da linjska analiza hrapavosti nije dobar pokazatelj jer se zasniva na analizi duž proizvoljno odabrane linije koja ne može da bude odgovarajući reprezent čitave površine. Analizom velikog broja uzorka koji su nagrizani pod različitim uslovima, pokazano je da površinska analiza hrapavosti na sektoru ( $50 \mu\text{m} \cdot 50 \mu\text{m}$ ) daje parametre koji adekvatno opisuju hrapavost posmatranih površina. U ovom radu će biti prikazani rezultati određivanja RMS hrapavosti na ovaj način.

Rastvori TMAH-a su pripremani polazeći od vodenog rastvora TMAH-a koncentracije 25 tež.% (2.8 M,  $\rho=1.020 \text{ g} \cdot \text{cm}^{-3}$ ) proizvođača "Merck". Rastvori koncentracije 2.5, 5.0 i 15 tež.% su pripremani dodakom deionizovane vode ili vode i etil alkohola.

Pri nagrizanju pločice su pripremene tako da je u trenutku otpočinjanja nagrizanja površina koja se nagriza hidrofobna. Posle fotopostupka i primene standardnog RCA pranja, pločice su kratkotrajno nagrizane u razblaženom rastvoru HF kiseline i dugotrajno ispirane u deionizованoj vodi [9].

### 3. REZULTATI I DISKUSIJA

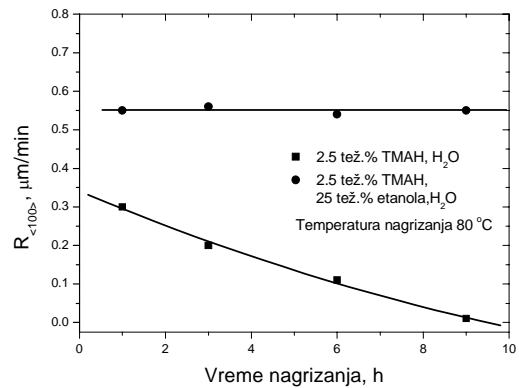
Pokazuju se da sa porastom koncentracije TMAH-a u vodenim rastvorima brzina nagrizanja (100) ravni Si opada. Maksimalne brzine nagrizanja se opažaju za koncentracije TMAH-a u vodenim rastvorima manjim od 5 tež.%. Sa druge strane, pri nagrizanju u vodenom rastvoru koncentracije 2.5 tež.% TMAH, brzina nagrizanja opada u toku vremena što je prikazano na Sl.2 za temperaturu nagrizanja od 80 °C. Ova tendencija smanjenja brzine nagrizanja sa vremenom, ukazuje na neku vrstu dezaktivacije površine. Pri istoj koncentraciji TMAH-a od 2.5 tež.%, ali u rastvoru koji sadrži 25 tež.% etanola brzina nagrizanja je konstantna u toku vremena.

Dodatak etanola utiče na smanjenje brzine nagrizanja i (100) i (111) ravni (Sl.4. i Sl.5.). Prema modelu procesa

nagrizanja koji je postavljen u [4], brzina nagrizanja Si u alkalnim rastvorima zavisi od proizvoda koncentracije hidroksilnih jona  $[\text{OH}^-]$  i koncentracije molekula vode  $[\text{H}_2\text{O}]$  i data je sledećom zavisnošću:

$$R \approx [\text{OH}^-]^n \times [\text{H}_2\text{O}]^m, \quad (3)$$

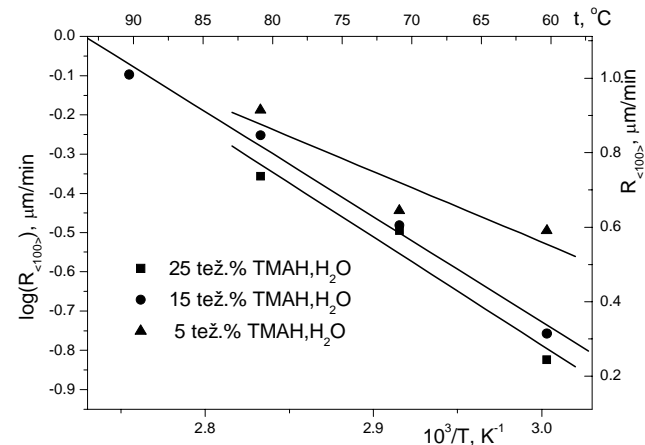
gde su  $m$  i  $n$  empirijski koeficijenti.



Sl.2. Vremenska zavisnost brzine nagrizanja (100) ravni Si za rastvore sa 2.5 tež.% TMAH-a koji sadrže samo  $\text{H}_2\text{O}$  ili  $\text{H}_2\text{O}$  sa 25tež.% etanola.

Pri nagrizanju Si u TMAH-u, hidroksilni joni,  $\text{OH}^-$ , i katjoni,  $(\text{CH}_3)_4\text{N}^+$ , koji nastaju disocijacijom u vodenim rastvorima, bivaju hidratisani i na taj način vežu molekule vode koji su potrebni za hemijsku reakciju nagrizanja Si. Što je koncentracija TMAH-a veća, veća je i količina molekula vode koji učestvuju u hidrataciji pa se na taj način smanjuje brzina nagrizanja što se vidi sa Sl.3. Sličan efekat ima i dodatak etanola koji je, u kinetičkom smislu, neaktivna komponenta u ovom sistemu. U rastvorima sa istom koncentracijom TMAH-a, brzina nagrizanja se smanjuje sa povećanjem koncentracije etanola (Sl. 4. i Sl.5.).

Sl.3. i Sl.4. prikazuju temperaturne zavisnosti brzina nagrizanja (100) ravni za vodene rastvore TMAH-a i rastvore TMAH-a koji sadrže i etanol, respektivno. Na Sl.5. je prikazana temperaturna zavisnost brzine nagrizanja (111) ravni u vodenom rastvoru koji sadrži 5 tež.% TMAH i u rastvorima koji osim 5 tež.% TMAH-a sadrže i 25 tež.% etanola.



Sl.3. Temperaturna zavisnost  $R_{<100>}$  za različite koncentracije TMAH-a u vodi.

Temperaturne zavisnosti brzina nagrizanja i (100) i (111) ravni se mogu prikazati Arenijusovim tipom zavisnosti:

$$R = R_0 \exp(-E_a/kT), \quad (4)$$

gde je sa  $E_a$  označena energija aktivacije,  $R_o$  je predeksponecijalni faktor a  $k=8.616 \cdot 10^{-5}$  eV·K<sup>-1</sup> je Boltzmanova konstanta. Iz prikazanih grafičkih zavisnosti i jed. (4) određene su vrednosti  $R_o$  i  $E_a$  za svaki rastvor. Dobijeni rezultati su sumirani u Tabeli I.

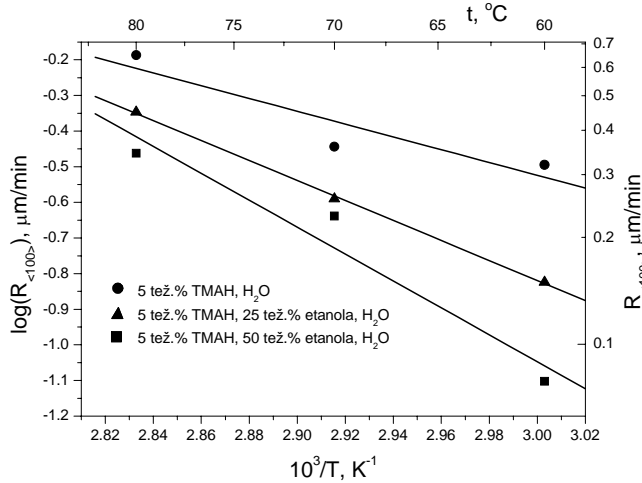
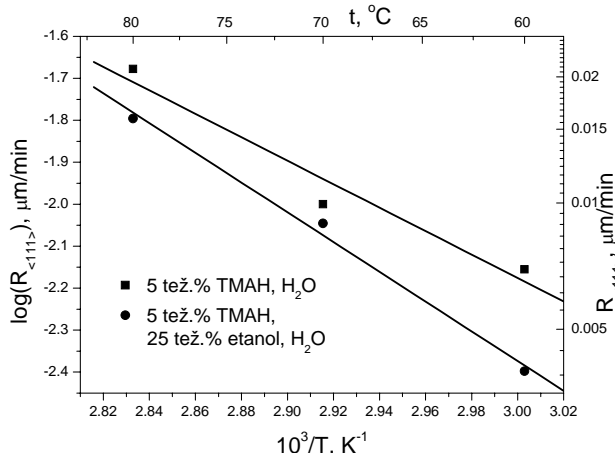


Tabela I. Eksperimentalno određene  $E_a$  i  $R_o$  vrednosti u Arenijusovoj zavisnosti.

Rastvor	$E_a$ , eV	$R_o$ , $\text{mm} \cdot \text{min}^{-1}$
5 tež.% TMAH, $\text{H}_2\text{O}$ -ravan (100)	0.36	$7.3 \cdot 10^4$
5 tež.% TMAH, 25 tež.% etanola, $\text{H}_2\text{O}$ -(100)	0.56	$3.9 \cdot 10^7$
5 tež.% TMAH, 50 tež.% etanola, $\text{H}_2\text{O}$ -(100)	1.07	$1.5 \cdot 10^{15}$
5 tež.% TMAH, $\text{H}_2\text{O}$ -ravan (111)	0.55	$1.6 \cdot 10^6$
5 tež.% TMAH, 25 tež.% etanola, $\text{H}_2\text{O}$ -(111)	0.70	$1.8 \cdot 10^8$
15 tež.% TMAH, $\text{H}_2\text{O}$ -ravan (100)	0.53	$2.0 \cdot 10^7$
25 tež.% TMAH, $\text{H}_2\text{O}$ -ravan (100)	0.55	$3.0 \cdot 10^7$

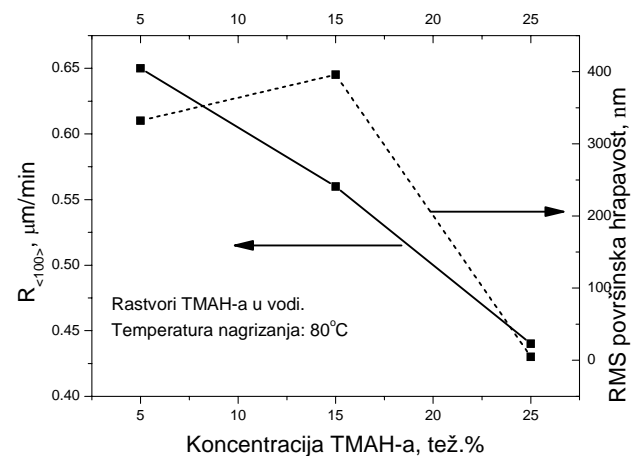
Određene vrednosti se dobro slažu sa objavljenim u literaturi [4, 10]. Energije aktivacije za (111) ravni su više od onih za (100) ravni. Takođe, sa porastom koncentracije TMAH-a raste i vrednost energije aktivacije. U rastvorima sa etanolom,  $E_a$  i  $R_o$  imaju veće vrednosti nego u vodenim rastvorima bez etanola.



Rezultati određivanja RMS hrapavosti na nagriženim površinama dimenzija (50·50) mm<sup>2</sup> su prikazani na dijagramima na Sl.6. za rastvore koji su sadržali samo TMAH i  $\text{H}_2\text{O}$  i na Sl.7. za rastvore sa 25 tež.% etanola kao aditiva. Temperatura nagrizanja je bila 80 °C a svi rezultati su prikazani za ravni orientacije (100). Na ovim dijagramima su prikazane i zavisnosti brzina nagrizanja od koncentracije rastvora.

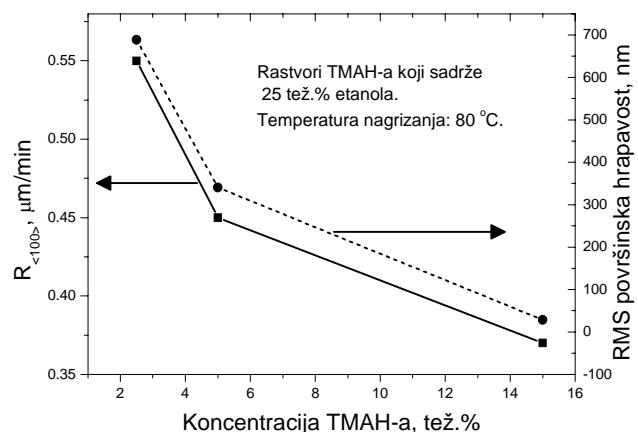
RMS hrapavost podloge koja je pripremljena na standardan način pre nagrizanja je bila 9.9 nm a hrapavost (100) ravni ovog tipa Si koji je nagrizan na 80 °C u vodenom rastvoru sa 30 tež.% KOH je bila 29 nm. Ova vrednost za rastvor KOH je data jer je ovo jedan od rastvora koji se najčešće koristi u tehnologijama anizotropnog nagrizanja Si.

U vodenim rastvorima TMAH-a sa smanjenjem koncentracije se povećava brzina nagrizanja i istovremeno raste i RMS hrapavost od 4.6 nm za rastvor sa 25 tež.% TMAH-a do 330 nm za rastvore sa 5 tež.% TMAH-a. Dodatak etanola dovodi i do smanjenja brzine nagrizanja i do smanjenja hrapavosti površine.

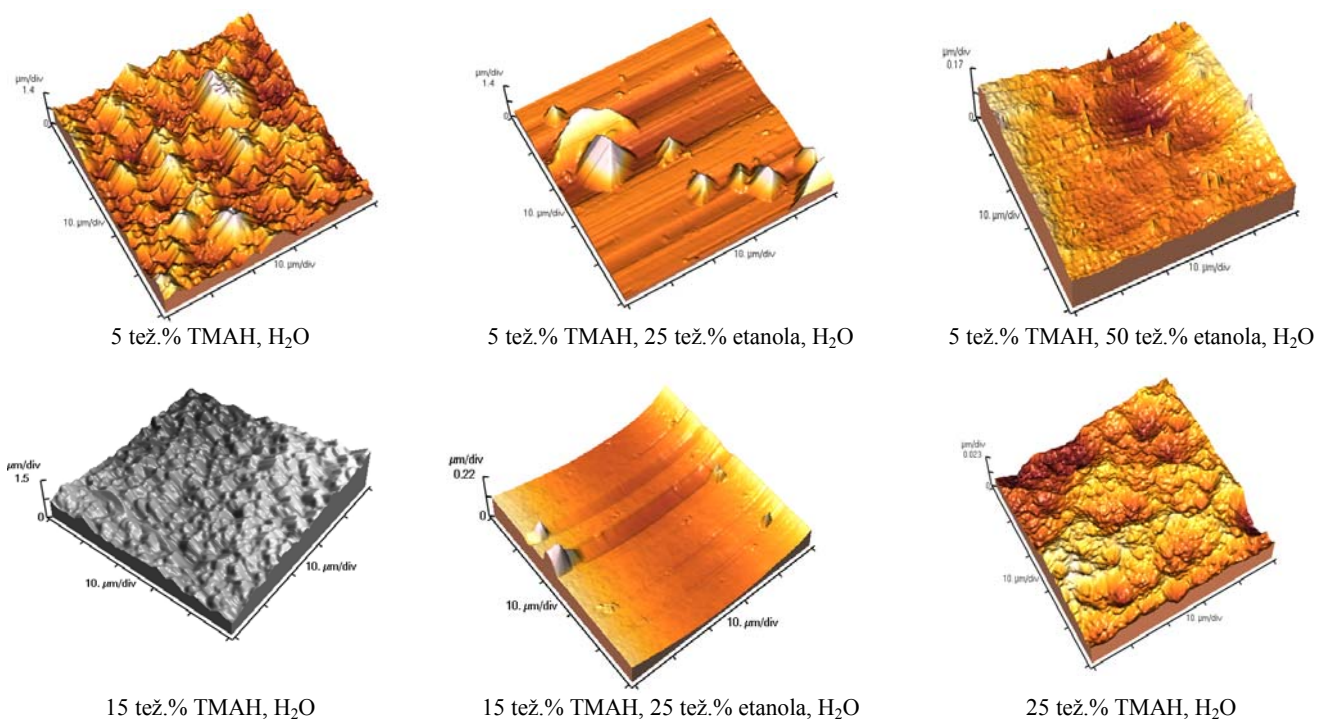


Sl.6. Dijagram koji prikazuje zavisnost brzine nagrizanja (100) ravni i RMS površinske hrapavosti od težinske koncentracije TMAH-a u vodi.

Smanjenje hrapavosti površine pri dodatku etanola nije izazvano samo površinskom aktivnošću etanola, već prvenstveno promenom baznosti rastvora što će kvalitativno i kvantitativno biti obradeno u sledećem radu. Na Sl.8. su prikazane 3D slike nagriženih površina sa AFM mikroskopa.



Sl.7. Dijagram koji prikazuje zavisnost brzine nagrizanja (100) ravni i RMS površinske hrapavosti od težinske koncentracije TMAH-a u rastvoru koji sadrži 25 tež.% etanola i vodu.



Sl.8. Trodimenzionalne slike površina za koje je određivana hrapavost. Sa promenom sastava rastvora menja se i morfološki izgled površine. Sastavi rastvora su označeni na slici. Temperatura nagrizanja je bila 80 °C.

#### 4. ZAKLJUČAK

Pokazano je da dodatak etanola u vodenim rastvorima TMAH-a dovodi do promene brzine nagrizanja (100) i (111) ravni. Brzine nagrizanja prate Arenijusov tip temperaturne zavisnosti. Povećanje koncentracije TMAH-a u vodenim rastvorima povećava  $E_a$  za nagrizanje Si (100) ravni. Sličan uticaj pokazuje i povećanje koncentracije etanola u rastvorima. Ova pojava važi i za (111) ravni, za koje  $E_a$  u principu ima veće vrednosti. Osim što svojim prisustvom utiče na promenu kinetike anizotropnog nagrizanja, etanol utiče i na morfološke odlike nagriženih ravni smanjujući njihovu hrapavost.

#### LITERATURA

- [1] T. Yi, L. Li, C-J Kim, "Microscale material testing of single crystalline silicon: process effects on surface morphology and tensile strength," *Sensors and actuators*, vol. 83, pp. 172-178, 2000.
- [2] B. Bhushan, V. N. Koinkar, "Microtribological studies of doped single-crystal silicon and polysilicon films for MEMS devices," *Sensors and Actuators, A* 57, pp. 91-102, 1996.
- [3] M. Madou: "Fundamentals of microfabrication", CRC Press, USA, 1997.
- [4] H. Seidel, L. Csepregi, A. Heuberger and H. Baumgärtel, "Anisotropic etching of crystalline silicon in alkaline solutions (Part I and II)", *J. Electrochem. Soc.*, vol. 137, No. 11, pp. 3612-3632, 1990.
- [5] O. Tabata: "Anisotropic etching of silicon in TMAH solutions," *Sensors and materials*, vol. 13, No. 5, pp. 271-283, 2001.
- [6] S. Wolf and R. N. Tauber, "Silicon processing for the VLSI era, Volume 1- Process technologies,", Sunset Beach, California, Lattice Press, 1986.
- [7] V. Jović, Ž. Lazić, M. Popović, "Anizotropno nagrizanje Si u rastvoru KOH sa etanolom", *Zbornik radova XLVIII Konf. Za ETRAN*, tom IV, pp. 164-167, Čačak, 6-10 juna 2004.
- [8] S. Chandrasekaran, J. Check, S. Sundararajan, P. Shrotriya: "The effect of anisotropic wet etching on the surface roughness parameters and micro/nanoscale behaviour of Si (100) surface", *Sensors and Actuators A*, available online at [www.sciencedirect.com](http://www.sciencedirect.com), 2005.
- [9] G. F. Cerofolini, L. Meda: "Chemistry at silicon crystalline surfaces", *Applied Surface Science*, vol. 89, pp. 351-360, 1995.
- [10] O. Tabata, R. Asahi, H. Funabashi, K. Shimaoka, S. Sugiyama, "Anisotropic etching of silicon in TMAH solutions", *Sensors and Actuators A*, vol. 34, pp. 51-57, 1992.

Ovaj rad je delom finansiralo Ministarstvo nauke i zaštite životne sredine Republike Srbije u okviru projekata IT.1.04.0062.B.

**Abstract** – The etching process of n-type, (100) Si wafers in water solutions of TMAH with or without ethanol alcohol addition has been studied. The etching rates of (100) and (111) planes and surface roughness in the wide range of solutions concentration have been estimated. It was proved that ethanol addition to the solution improves the morphology and decreases the etching rate.

**MONOCRYSTALLINE Si ANIZOTROPIC ETCHING IN TMAH SOLUTION WITH ETHANOL ADDITION-KINETIC AND MORPHOLOGICAL PROPERTIES**  
V. Jović, D. Randelović, M. Popović